

DUCHANOY Colin

QUIN Hugo

SOUCOURRE Vincent

STREIFF Axel



Bureau d'étude Ma321 : Optimisation Différentiable 1

AERO 3

M. COUFFIGNAL – M. EL MAHBOUBY

Mars 2022

Table des matières

1. Théorie : La corde vibrante	2
2. Modélisation	9
3. Méthodes numériques	12
3.1 Sans contraintes	12
3.2 Avec contraintes	17

1. Théorie : La corde vibrante

$$S(u(x, t)) = \int_{t_0}^{t_f} (E_c(u) - E_p(u)) dt$$

Avec :

$$E_c(u) = \int_0^L \frac{1}{2} \rho \left(\frac{\partial u}{\partial t}(x, t) \right)^2 dx, \text{ l'énergie cinétique}$$

$$E_p(u) = \int_0^L f \left(\frac{\partial u}{\partial x}(x, t) \right) dx, \text{ l'énergie potentielle et } f \text{ qui représente une loi comportementale de la matière : la loi de Hooke.}$$

1) Bonus

Pour un seul point de la corde les intégrales disparaissent et on a les formules suivantes :

$$E_c(u) = \frac{1}{2} \rho \left(\frac{\partial u}{\partial t}(x, t) \right)^2$$

$$E_p(u) = f \left(\frac{\partial u}{\partial x}(x, t) \right)$$

Pour l'énergie cinétique on retrouve la formule classique déjà étudiée en physique pour un point discret de l'espace :

$$E_c = \frac{1}{2} \rho v^2$$

Or ici le milieu étudié est une corde donc on remplace la masse volumique de la formule classique par la densité linéique de la corde.

De plus, $\frac{\partial u}{\partial t}(x, t)$ représente la vitesse de déplacement d'un point de la corde selon l'axe e_x en fonction du temps.

Par ailleurs, l'énergie potentielle dépend de la position dans l'espace du point étudié, il est donc logique que la formule de E_p dépende de la dérivée de u selon x la position sur l'axe e_y .

Le problème concerne une corde vibrante soumise à des contraintes. Il est donc logique que E_p soit régit par une fonction f incarnant une loi comportementale de la matière ou loi de Hooke qui modélise le comportement de solides soumis à une déformation élastique ainsi qu'à des contraintes telles qu'énoncées dans le sujet.

Les expressions de E_c et E_p sont ensuite sommées pour tous les points de la corde ce qui explique les intégrales de 0 à L permettant de retrouver l'énergie cinétique totale et l'énergie potentielle sur toute la longueur de la corde.

2) En dérivant E_c en u selon la direction v on obtient :

$$\begin{aligned}
 D_v E_c(u) &= \lim_{\epsilon \rightarrow 0} \frac{E_c(u + \epsilon v) - E_c(u)}{\epsilon} \\
 &\Leftrightarrow \lim_{\epsilon \rightarrow 0} \frac{\int_0^L \frac{1}{2} \rho \left(\frac{\partial(u + \epsilon v)}{\partial t}(x, t) \right)^2 dx - \int_0^L \frac{1}{2} \rho \left(\frac{\partial u}{\partial t}(x, t) \right)^2 dx}{\epsilon} \\
 &\Leftrightarrow \frac{\int_0^L \frac{1}{2} \rho \left(\frac{\partial u}{\partial t}(x, t) + \epsilon \frac{\partial v}{\partial t}(x, t) \right)^2 dx - \int_0^L \frac{1}{2} \rho \left(\frac{\partial u}{\partial t}(x, t) \right)^2 dx}{\epsilon} \\
 &\Leftrightarrow \lim_{\epsilon \rightarrow 0} \frac{\int_0^L \frac{1}{2} \rho \left(\frac{\partial u}{\partial t}(x, t) + \epsilon \frac{\partial v}{\partial t}(x, t) \right)^2 - \left(\frac{\partial u}{\partial t}(x, t) \right)^2 dx}{\epsilon} \\
 &\Leftrightarrow \lim_{\epsilon \rightarrow 0} \frac{\int_0^L \frac{1}{2} \rho \left(\frac{\partial^2 u}{\partial t^2}(x, t) + 2\epsilon \frac{\partial u}{\partial t} \frac{\partial v}{\partial t}(x, t) + \epsilon^2 \frac{\partial^2 v}{\partial t^2}(x, t) - \frac{\partial^2 u}{\partial t^2}(x, t) \right) dx}{\epsilon} \\
 &\Leftrightarrow \lim_{\epsilon \rightarrow 0} \frac{\int_0^L \frac{1}{2} \rho \left(2\epsilon \frac{\partial u}{\partial t} \frac{\partial v}{\partial t}(x, t) + \epsilon^2 \frac{\partial^2 v}{\partial t^2}(x, t) \right) dx}{\epsilon} \\
 &\Leftrightarrow \int_0^L \rho \frac{\partial u}{\partial t} \frac{\partial v}{\partial t}(x, t) dx
 \end{aligned}$$

3) Pour calculer la dérivée directionnelle E_p en u selon v nous commencerons par effectuer un développement de Taylor à l'ordre 2 de la fonction f au point $\frac{\partial u}{\partial t}(x, t)$

$$\begin{aligned}
 &f \left(\frac{\partial u}{\partial x}(x, t) + \epsilon \frac{\partial v}{\partial x}(x, t) \right) \\
 &\Leftrightarrow f \left(\frac{\partial u}{\partial x}(x, t) \right) + \epsilon \frac{\partial v}{\partial x}(x, t) f' \left(\frac{\partial u}{\partial x}(x, t) \right) + \epsilon^2 \left(\frac{\partial v}{\partial x}(x, t) \right)^2 f'' \left(\frac{\partial u}{\partial x}(x, t) \right)
 \end{aligned}$$

On en déduit la dérivée directionnelle suivante :

$$\begin{aligned}
 D_v E_p(u) &= \lim_{\epsilon \rightarrow 0} \frac{E_p(u + \epsilon v) - E_p(u)}{\epsilon} \\
 &\Leftrightarrow \lim_{\epsilon \rightarrow 0} \frac{\int_0^L f \left(\frac{\partial(u + \epsilon v)}{\partial x}(x, t) \right) dx - \int_0^L f \left(\frac{\partial u}{\partial x}(x, t) \right) dx}{\epsilon}
 \end{aligned}$$

$$\Leftrightarrow \lim_{\epsilon \rightarrow 0} \frac{\int_0^L f \left(\frac{\partial(u + \epsilon v)}{\partial x}(x, t) \right) - f \left(\frac{\partial u}{\partial x}(x, t) \right) dx}{\epsilon}$$

En appliquant le développement de Taylor à l'ordre 2, on obtient :

$$\begin{aligned} & \Leftrightarrow \lim_{\epsilon \rightarrow 0} \frac{\int_0^L f \left(\frac{\partial u}{\partial x}(x, t) \right) + \epsilon \frac{\partial v}{\partial x}(x, t) f' \left(\frac{\partial u}{\partial x}(x, t) \right) + \epsilon^2 \left(\frac{\partial v}{\partial x}(x, t) \right)^2 f'' \left(\frac{\partial u}{\partial x}(x, t) \right) - f \left(\frac{\partial u}{\partial x}(x, t) \right) dx}{\epsilon} \\ & \Leftrightarrow \lim_{\epsilon \rightarrow 0} \frac{\int_0^L \epsilon \frac{\partial v}{\partial x}(x, t) f' \left(\frac{\partial u}{\partial x}(x, t) \right) + \epsilon^2 \left(\frac{\partial v}{\partial x}(x, t) \right)^2 f'' \left(\frac{\partial u}{\partial x}(x, t) \right) dx}{\epsilon} \\ & \Leftrightarrow \int_0^L \frac{\partial v}{\partial x}(x, t) f' \left(\frac{\partial u}{\partial x}(x, t) \right) dx \end{aligned}$$

- 4) A partir des calculs précédents, nous pouvons à présent calculer la dérivée directionnelle de S en u selon v.

Montrons que :

$$D_v S(u) = \int_{t_0}^{t_f} \left(\int_0^L \Phi(x, t) v(x, t) dx \right) dt$$

La formule de la dérivée directionnelle nous donne :

$$\begin{aligned} D_v S(u) &= \lim_{\epsilon \rightarrow 0} \frac{S(u + \epsilon v) - S(u)}{\epsilon} \\ \Leftrightarrow D_v S(u) &= \lim_{\epsilon \rightarrow 0} \frac{\int_{t_0}^{t_f} (E_c(u + \epsilon v) - E_p(u + \epsilon v)) dt - \int_{t_0}^{t_f} (E_c(u) - E_p(u)) dt}{\epsilon} \end{aligned}$$

Par linéarité de l'intégrale on peut donc décomposer la formule précédente pour regrouper les énergies cinétiques et les énergies potentielles ensembles dans des intégrales respectives :

$$\begin{aligned} D_v S(u) &= \lim_{\epsilon \rightarrow 0} \frac{\int_{t_0}^{t_f} E_c(u + \epsilon v) dt - \int_{t_0}^{t_f} E_p(u + \epsilon v) dt - \int_{t_0}^{t_f} E_c(u) dt + \int_{t_0}^{t_f} E_p(u) dt}{\epsilon} \\ \Leftrightarrow D_v S(u) &= \lim_{\epsilon \rightarrow 0} \frac{\int_{t_0}^{t_f} (E_c(u + \epsilon v) - E_c(u)) dt - \int_{t_0}^{t_f} (E_p(u + \epsilon v) - E_p(u)) dt}{\epsilon} \end{aligned}$$

$$\Leftrightarrow D_v S(u) = \lim_{\epsilon \rightarrow 0} \int_{t_0}^{tf} \frac{E_c(u + \epsilon v) - E_c(u)}{\epsilon} dt - \int_{t_0}^{tf} \frac{E_p(u + \epsilon v) - E_p(u)}{\epsilon} dt$$

Sous cette forme on retrouve donc la formule de la dérivée directionnelle de E_c en u dans la direction v au niveau de la première intégrale et la formule de la dérivée directionnelle de E_p en u dans la direction v au niveau de la deuxième intégrale :

$$\begin{aligned}
 D_v S(u) &= \lim_{\epsilon \rightarrow 0} \int_{t_0}^{tf} D_v E_c(u) dt - \int_{t_0}^{tf} D_v E_p(u) dt \\
 \Leftrightarrow D_v S(u) &= \lim_{\epsilon \rightarrow 0} \int_{t_0}^{tf} \left(\int_0^L \rho \frac{\partial u}{\partial t} \frac{\partial v}{\partial t}(x, t) dx \right) dt \\
 &\quad - \int_{t_0}^{tf} \left(\int_0^L \frac{\partial v}{\partial x}(x, t) f' \left(\frac{\partial u}{\partial x}(x, t) \right) dx \right) dt \\
 D_v S(u) &= \lim_{\epsilon \rightarrow 0} \int_{t_0}^{tf} \left(\int_0^L \rho \frac{\partial u}{\partial t} \frac{\partial v}{\partial t}(x, t) dx - \int_0^L \frac{\partial v}{\partial x}(x, t) f' \left(\frac{\partial u}{\partial x}(x, t) \right) dx \right) dt
 \end{aligned}$$

Avant de regrouper les deux intégrales selon x il convient d'abord d'effectuer sur chacune d'elles une intégration par partie afin de retrouver une expression selon $v(x, t)$.

Pour la première intégrale :

$$\int_0^L \rho \frac{\partial u}{\partial t} \frac{\partial v}{\partial t}(x, t) dx = \left[\rho \frac{\partial u}{\partial t}(x, t) v(x, t) \right]_0^L - \int_0^L \rho \frac{\partial^2 u}{\partial t^2}(x, t) v(x, t) dx$$

Or les conditions limites nous donnent : $v(0, t) = v(L, t) = 0, \forall (x, t) \in [t_0, t_f]$

Ainsi,

$$\left[\rho \frac{\partial u}{\partial t}(x, t) v(x, t) \right]_0^L = 0$$

Et,

$$\int_0^L \rho \frac{\partial u}{\partial t} \frac{\partial v}{\partial t}(x, t) dx = - \int_0^L \rho \frac{\partial^2 u}{\partial t^2}(x, t) v(x, t) dx$$

Pour la deuxième intégrale :

A l'aide de la formule de la dérivée d'une fonction composée on obtient :

$$\left(f' \left(\frac{\partial u}{\partial x}(x, t) \right) \right)' = f'' \left(\frac{\partial u}{\partial x}(x, t) \right) \frac{\partial^2 u}{\partial x^2}$$

Et donc,

$$\begin{aligned}
 \int_0^L \frac{\partial v}{\partial x}(x, t) f' \left(\frac{\partial u}{\partial x}(x, t) \right) dx \\
 = \left[f' \left(\frac{\partial u}{\partial x}(x, t) \right) v(x, t) \right]_0^L - \int_0^L f'' \left(\frac{\partial u}{\partial x}(x, t) \right) \frac{\partial^2 u}{\partial x^2}(x, t) v(x, t) dx
 \end{aligned}$$

Comme pour la première intégrale, les conditions limites nous donnent :

$$\left[\rho \frac{\partial u}{\partial t}(x, t) v(x, t) \right]_0^L = 0$$

Et,

$$\int_0^L \frac{\partial v}{\partial x}(x, t) f' \left(\frac{\partial u}{\partial x}(x, t) \right) dx = - \int_0^L f'' \left(\frac{\partial u}{\partial x}(x, t) \right) \frac{\partial^2 u}{\partial x^2}(x, t) v(x, t) dx$$

En réinjectant les deux résultats d'intégration par partie dans l'expression de la dérivée directionnelle on a ainsi :

$$\begin{aligned}
 D_v S(u) = \lim_{\epsilon \rightarrow 0} \int_{t_0}^{t_f} \left(- \int_0^L \rho \frac{\partial^2 u}{\partial t^2}(x, t) v(x, t) dx \right. \\
 \left. + \int_0^L f'' \left(\frac{\partial u}{\partial x}(x, t) \right) \frac{\partial^2 u}{\partial x^2}(x, t) v(x, t) dx \right) dt
 \end{aligned}$$

En rassemblant les deux intégrales selon x on obtient une expression sous la forme recherchée :

$$D_v S(u) = \lim_{\epsilon \rightarrow 0} \int_{t_0}^{t_f} \int_0^L \left(f'' \left(\frac{\partial u}{\partial x}(x, t) \right) \frac{\partial^2 u}{\partial x^2}(x, t) - \rho \frac{\partial^2 u}{\partial t^2}(x, t) \right) v(x, t) dx dt$$

Avec,

$$\phi(x, t) = f'' \left(\frac{\partial u}{\partial x}(x, t) \right) \frac{\partial^2 u}{\partial x^2}(x, t) - \rho \frac{\partial^2 u}{\partial t^2}(x, t)$$

5) Application du principe d'action stationnaire

- a) Soit : $g: [a, b] \rightarrow \mathbb{R}$ une fonction continue. Montrons que si pour toute fonction continue $h: [a, b] \rightarrow \mathbb{R}$, si l'intégrale suivante est nulle :

$$\int_a^b g(s) h(s) ds = 0$$

Alors g est nulle

Preuve :

Soient g et h deux fonctions continues sur l'intervalle $[a, b]$.

Posons $h(s) = g(s)$

$$\int_a^b g(s) h(s) ds = 0 \rightarrow \int_a^b g(s) g(s) ds = 0 \rightarrow g(s) = 0$$

Donc g est la fonction est la fonction nulle

b) Equation des ondes non linéaires

Les points critiques de l'action S vérifie l'équation

$$\left(\frac{1}{2} \rho \left(\frac{\partial u}{\partial t}(x, t) \right)^2 - f \left(\frac{\partial u}{\partial x}(x, t) \right) \right)' = 0$$

$$\Leftrightarrow \rho \frac{\partial^2 u}{\partial t^2} - \frac{\partial}{\partial x} \left(f' \left(\frac{\partial u}{\partial x} \right) \right) = 0$$

Donc les points critiques de l'action S vérifie l'équation des ondes non linéaire.

6) Supposons à présent que f s'écrit :

$$f(s) = \frac{1}{2} T s^2$$

Avec T la tension de la corde

a) Hypothèses physiques traduites par l'expression de f :

Cette forme de f bien connue est une densité linéique d'énergie potentielle. Elle traduit que l'énergie potentielle découle du travail exercé par la tension T appliquée à la corde au point en question.

Par ailleurs, s représente ici l'allongement de la corde. On remarque aussi que l'expression de f ne dépend pas du signe de cet allongement à cause du carré. Dans l'hypothèse que la tension est positive on a donc toujours $E_p \geq 0$ et inversement pour une tension négative avec $E_p \leq 0$.

b) Equation des ondes homogènes

On remplace dans l'équation

$$\rho \frac{\partial^2 u}{\partial t^2} - \frac{\partial}{\partial x} \left(f' \left(\frac{\partial u}{\partial x} \right) \right) = 0$$

$$\Leftrightarrow \rho \frac{\partial^2 u}{\partial t^2} - \frac{\partial}{\partial x} T \frac{\partial u}{\partial x} = 0$$

$$\Leftrightarrow \frac{\partial^2 u}{\partial t^2} = \frac{T}{\rho} \frac{\partial^2 u}{\partial x^2}$$

$$\Leftrightarrow \frac{\partial^2 u}{\partial t^2} = c^2 \frac{\partial^2 u}{\partial x^2}$$

Avec $c = \sqrt{\frac{T}{\rho}}$

2. Modélisation

Posons le problème suivant

$$\begin{cases} \frac{\partial^2 u}{\partial t^2} - c^2 \frac{\partial^2 u}{\partial x^2} = 0 & \text{dans } [0, L] \times [t_0, t_f] \\ u(0, t) = u(L, t) = 0 & \forall t \in [t_0, t_f] \\ u(x, t_0) = u_0(x) & \forall x \in [0, L] \\ \frac{\partial u}{\partial t}(x, t_0) = v_0(x) & \forall x \in [0, L] \end{cases}$$

1) Discrétisation

$$\frac{u_j^{n+1} - 2u_j^n + u_j^{n-1}}{\Delta t^2} - \frac{c^2}{\Delta x^2} \left(\frac{\theta}{2} \delta_x^2 u_j^{n+1} + (1 - \theta) \delta_x^2 u_j^n + \frac{\theta}{2} \delta_x^2 u_j^{n-1} \right) = 0$$

$$\text{Avec } \delta_x^2 \varphi_j = \varphi_{j+1} - 2\varphi_j + \varphi_{j-1}$$

Etude de consistance et de stabilité (Von Neumann-Fourier) :

Nous allons chercher à démontrer que le schéma est inconditionnellement stable au sens de Von Neumann-Fourier, c'est-à-dire $|\xi| < 1$

Tout d'abord on pose $u_j^n = \xi^n e^{ik\pi x_j}$ pour k fixé et $\gamma = \frac{c^2 \Delta t^2}{\Delta x^2}$

En remplaçant dans le schéma numérique on a donc :

$$\begin{aligned} & (\xi^{n+1} e^{ik\pi x_j} - 2\xi^n e^{ik\pi x_j} + \xi^{n-1} e^{ik\pi x_j}) \\ & - \gamma^2 \left(\frac{\theta}{2} (\xi^{n+1} e^{ik\pi x_{j+1}} - 2\xi^{n+1} e^{ik\pi x_j} + \xi^{n+1} e^{ik\pi x_{j-1}}) \right. \\ & + (1 - \theta) (\xi^n e^{ik\pi x_{j+1}} - 2\xi^n e^{ik\pi x_j} + \xi^n e^{ik\pi x_{j-1}}) \\ & \left. + \frac{\theta}{2} (\xi^{n-1} e^{ik\pi x_{j+1}} - 2\xi^{n-1} e^{ik\pi x_j} + \xi^{n-1} e^{ik\pi x_{j-1}}) \right) = 0 \end{aligned}$$

On sait que $\delta_x^2 u_j = u_{j+1} - 2u_j + u_{j-1}$

Pour $\delta_x^2 u_j^{n+1} = u_{j+1}^{n+1} - 2u_j^{n+1} + u_{j-1}^{n+1}$ on aura :

$$\begin{aligned} \delta_x^2 u_j^{n+1} &= \xi^{n+1} e^{ik\pi x_{j+1}} - 2\xi^{n+1} e^{ik\pi x_j} + \xi^{n+1} e^{ik\pi x_{j-1}} \\ &\Leftrightarrow \xi^{n+1} (e^{ik\pi x_{j+1}} - 2e^{ik\pi x_j} + e^{ik\pi x_{j-1}}) \\ &\Leftrightarrow \xi^{n+1} e^{ik\pi x_j} (e^{ik\pi \Delta x} - 2 + e^{-ik\pi \Delta x}) \\ &\Leftrightarrow 2 \xi^{n+1} e^{ik\pi x_j} (\cos(k\pi \Delta x) - 1) \end{aligned}$$

En suivant le même raisonnement :

Pour $\delta_x^2 u_j^n = u_{j+1}^n - 2u_j^n + u_{j-1}^n$ on aura :

$$\delta_x^2 u_j^n \Leftrightarrow 2 \xi^n e^{ik\pi x_j} (\cos(k\pi \Delta x) - 1)$$

Pour $\delta_x^2 u_j^{n-1} = u_{j+1}^{n-1} - 2u_j^{n-1} + u_{j-1}^{n-1}$ on aura :

$$\delta_x^2 u_j^n \Leftrightarrow 2 \xi^{n-1} e^{ik\pi x_j} (\cos(k\pi \Delta x) - 1)$$

En remplaçant dans le schéma numérique on a donc :

$$\begin{aligned} & \xi^2 - 2\xi + 1 - \gamma^2 (\cos(k\pi \Delta x) - 1) (\xi^2 \theta + 2\xi(1 - \theta) + \theta) = 0 \\ \Leftrightarrow & \xi^2 (1 - \gamma^2 \theta (\cos(k\pi \Delta x) - 1)) - 2\xi (1 + \gamma^2 (1 - \theta) (\cos(k\pi \Delta x) - 1)) \\ & + (1 - \gamma^2 \theta (\cos(k\pi \Delta x) - 1)) = 0 \end{aligned}$$

$$\Leftrightarrow \xi^2 - 2 \left(\frac{1 + \gamma^2 (1 - \theta) (\cos(k\pi \Delta x) - 1)}{(1 - \gamma^2 \theta (\cos(k\pi \Delta x) - 1))} \right) \xi + 1 = 0 (*)$$

Pour respecter la condition de stabilité il faut que le $\det(*) \leq 0$

$$\begin{aligned} & (1 + \gamma^2 (1 - \theta) (\cos(k\pi \Delta x) - 1))^2 \leq (1 - \gamma^2 \theta (\cos(k\pi \Delta x) - 1))^2 \\ \Leftrightarrow & \gamma^2 (\cos(k\pi \Delta x) - 1)^2 (1 - 2\theta) + 2\gamma^2 (\cos(k\pi \Delta x) - 1) \geq 0 \end{aligned}$$

Par définition tous les termes sont positifs sauf $(1 - 2\theta)$:

Pour que le schéma soit stable il faut que

$$\begin{aligned} & 1 - 2\theta \geq 0 \\ \Leftrightarrow & \frac{1}{2} \leq \theta \end{aligned}$$

Ainsi si $\frac{1}{2} \leq \theta \leq 1$ alors le schéma est stable

Nous avons donc vu que le schéma était stable et consistant alors d'après le théorème de Lax le schéma est aussi convergent

- 2) En utilisant l'équation d'ondes et les conditions initiales, on trouve une approximation à l'ordre 2 de u_j^1 pour tout $j \in \llbracket 1, M \rrbracket$:

On réalise tout d'abord un développement de Taylor

$$u_j^1 = u(x_j, \Delta t) = u(x_j, 0) + \Delta t \frac{\partial u}{\partial t}(x_j, 0) + \frac{\Delta t^2}{2} \frac{\partial^2 u}{\partial t^2}(x_j, 0)$$

$$\Leftrightarrow u_0(x_j) + v_0(x_j) + \frac{\Delta t^2}{2} c^2 \frac{\partial^2 u}{\partial x^2}(x_j, 0)$$

Avec $\frac{\partial^2 u}{\partial x^2}(x_j, 0) = \frac{u_j^0 - 2u_{j-1}^0 + u_{j+1}^0}{\Delta x^2}$

Donc :

$$u_j^1 = u_0(x_j) + \Delta t \begin{pmatrix} v_0(x_1) \\ \vdots \\ v_0(x_M) \end{pmatrix} + \frac{\Delta t^2}{2} \left(\frac{c^2}{\Delta x^2} (-A u_0(x_j)) + \begin{pmatrix} u_0(0, t) \\ 0 \\ \vdots \\ u_0(L, t) \end{pmatrix} \right)$$

$$\begin{pmatrix} u_0(0, t) \\ 0 \\ \vdots \\ u_0(L, t) \end{pmatrix} = 0 \text{ Car conditions limites}$$

A matrice de Laplace $\begin{pmatrix} 2 & -1 & 0 & \dots & 0 \\ -1 & 2 & -1 & & \vdots \\ 0 & -1 & \ddots & \ddots & 0 \\ \vdots & & \ddots & \ddots & -1 \\ 0 & \dots & 0 & -1 & 2 \end{pmatrix}$

3) Posons maintenant le vecteur colonne $u^n = (u_1^n, \dots, u_M^n)^T$

Nous avons le schéma numérique suivant :

$$u_j^{n+1} - 2u_j^n + u_j^{n-1} - \gamma^2 \left(\frac{\theta}{2} \delta_x^2 u_j^{n+1} + (1-\theta) \delta_x^2 u_j^n + \frac{\theta}{2} \delta_x^2 u_j^{n-1} \right) = 0$$

Ce qui donne :

$$u_j^{n+1} - 2u_j^n + u_j^{n-1} + \gamma^2 \left(\frac{\theta}{2} A u_j^{n+1} + (1-\theta) A u_j^n + \frac{\theta}{2} A u_j^{n-1} \right) = 0$$

$$\Leftrightarrow (Im + \gamma^2 \frac{\theta}{2} A) u_j^{n+1} + (-2Im + \gamma^2 (1-\theta) A) u_j^n + (Im + \gamma^2 \frac{\theta}{2} A) u_j^{n-1} = 0$$

On obtient donc :

$$P_2 u^{n+2} = P_1 u^{n+1} + P_0 u^n$$

Avec $P_2 = (Im + \gamma^2 \frac{\theta}{2} A)$, $P_1 = (-2Im + \gamma^2 (1-\theta) A)$, $P_0 = -(Im + \gamma^2 \frac{\theta}{2} A)$

4) P2 définie positive

On sait que la matrice de Laplace ainsi que la matrice identité sont symétriques et définies positives, ainsi on a P2 définie positive

3. Méthodes numériques

3.1 Sans contraintes

Dans cette partie nous allons nous intéresser à la part à la résolution pour tout $n \geq 0$:

$$P_2 u^{n+2} = P_1 u^{n+1} + P_0 u^n$$

Supposons u^{n+1} et u^n connus. Posons la forme quadratique :

$$Q_n(x) = \frac{1}{2} x^T P_2 x + (P_1 u^{n+1} + P_0 u^n)^T x$$

1) u^{n+2} point critique de $Q_n(x)$.

On cherche à démontrer que u^{n+2} est un point critique de $Q_n(x)$.

On pose $\nabla Q_n(x) = P_2 x - (P_1 u^{n+1} + P_0 u^n)$

Ainsi les points critiques de $Q_n(x)$ répondent à l'équation :

$$\nabla Q_n(x) = 0$$

$$\Leftrightarrow P_2 x - (P_1 u^{n+1} + P_0 u^n) = 0$$

$$\Leftrightarrow P_2 x = P_1 u^{n+1} + P_0 u^n$$

Or u^{n+2} une solution de cette équation, donc u^{n+2} est un point critique de $Q_n(x)$.

De plus il s'agit d'un minimum.

2) Ecriture du programme

```
# Chaque colonne de Utot représente la position de la corde à un
instant
Utot=np.zeros((M,N+3))
# Les deux premières colonnes sont donc connues :
Utot[:,0]=u0.reshape(M)
Utot[:,1]=u1.reshape(M)

# Calcul de la suite de la matrice Utot à partir des valeurs initiales
grâce au gradient projeté
for i in tqdm(range(0,N),desc="Calcul Utot"):
    b=P1@Utot[:,i+1].reshape(M,1)+P0@Utot[:,i].reshape(M,1)
    Utot[:,i+2]=bbl.GPC(P2,b,x0,epsilon).reshape(M)
#On force les extrémités de la corde à être fixées à 0
Utot[0,i]=0
Utot[-1,i]=0
```

Pour obtenir nos u^{n+2} on utilise l'algorithme du gradient conjugué. Ainsi à chaque instant on pourra déterminer notre u^{n+2} et l'injecter dans une matrice afin de le récupérer pour les tracer.

```
#Création de l'animation

fig, ax=plt.subplots()
ax.set_xlim(0,1)
ax.set_ylim(-2,2)
ax.set_title("Oscillations d'une corde sans contrainte")

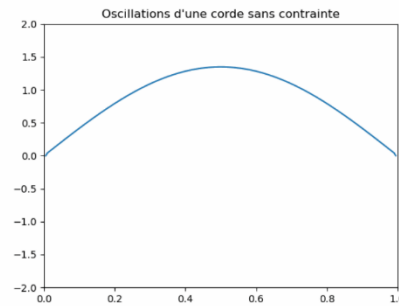
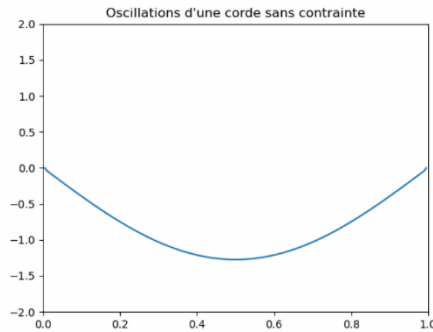
line, = ax.plot(0,0)
def ani(i):
    line.set_xdata(x)
    line.set_ydata(Utot[:,i])
animation = FuncAnimation(fig, func=ani,
frames=np.arange(0,N,1),interval=dt)
```

3) Application des données

Pour notre programme nous appliquons les données initiales suivantes :

$$\left\{ \begin{array}{l} M = 200 \quad N = 300 \\ t_0 = 0 \quad t_f = 10 \\ c = 1 \quad \theta = 1 \\ L = 1 \\ u_0(x) = \frac{1}{2} \sin(\pi x) \quad v_0(x) = -4 \sin(\pi x) \end{array} \right.$$

- 4) En appliquant les données suivantes au programme, on obtient une sortie vidéo « animation.gif » de la sorte :



- 5) Solution exacte du problème

$$u(x, t) = \frac{1}{2}[u_0(x - ct) + u_0(x + ct)] + \frac{1}{2c} \int_{x-ct}^{x+ct} v_0(s) ds$$

On cherche à démontrer que $u(x, t)$ est une solution exacte du problème :

$$u(x, t) = \frac{1}{4} [\cos(\pi(x - ct)) + \cos(\pi(x + ct))] + \frac{2}{\pi c} [\sin(\pi(x - ct)) + \sin(\pi(x + ct))]$$

En dérivant deux fois on obtient :

$$\frac{\partial^2 u}{\partial t^2} = \frac{1}{4} [\pi^2 c^2 \sin(\pi(x - ct)) - \pi^2 c^2 \sin(\pi(x + ct))] + \frac{2}{\pi c} [-\pi^2 c^2 \cos(\pi(x - ct)) + \pi^2 c^2 \cos(\pi(x + ct))]$$

$$\frac{\partial^2 u}{\partial x^2} = \frac{1}{4} [\pi^2 \sin(\pi(x - ct)) - \pi^2 \sin(\pi(x + ct))] + \frac{2}{\pi c} [-\pi^2 \cos(\pi(x - ct)) + \pi^2 \cos(\pi(x + ct))]$$

En injectant dans l'équation on a bien :

$$\frac{\partial^2 u}{\partial t^2} - c^2 \frac{\partial^2 u}{\partial x^2} = 0$$

Donc $u(x, t) = \frac{1}{2}[u_0(x - ct) + u_0(x + ct)] + \frac{1}{2c} \int_{x-ct}^{x+ct} v_0(s) ds$ avec
 $u_0(x) = \frac{1}{2} \sin(\pi x)$ et $v_0(x) = -4 \sin(\pi x)$ est bien une solution exacte du problème.

6) Approximation avec solution exacte

On réalise maintenant le trace en comparaison avec la solution approximé.

```
#Définition de la solution approchée
def u(x,t):
    return (0.5*(bbl.u0(x-
c*t)+bbl.u0(x+c*t)))+(2/(np.pi*c))*(np.cos(np.pi*(x+c*t))-np.cos(np.pi*(x-
c*t)))

#On crée une matrice comme précédement une matrice contenant la position de
la corde à chaque instant
Utotapprox=np.zeros((M,N+2))
time=0
for i in tqdm(range(N+2),desc="Calcul Utotapprox"):
    time+=dt
```

Par la suite on calcule l'erreur entre les deux methodes en creant une fonction.

```
%% Calcul de l'erreur maximale entre les 2 méthodes

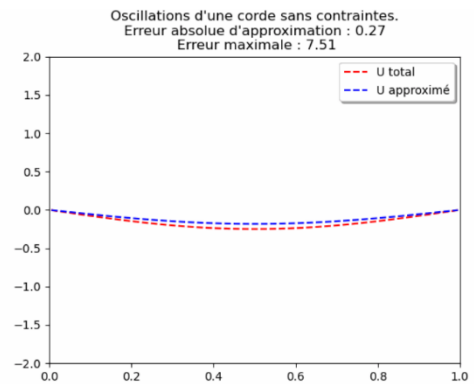
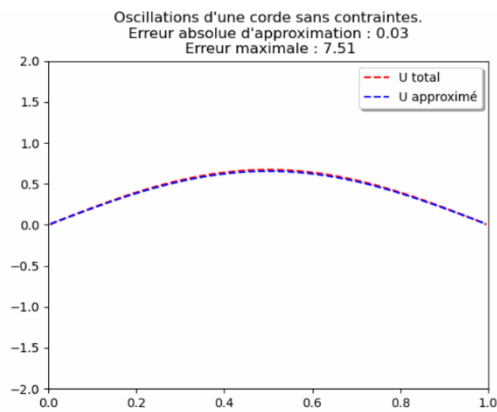
erreur=np.zeros((N+2))

for i in tqdm(range(N+2),desc="Calcul erreur"):
    erreur[i]=round((np.linalg.norm(Utotapprox[:,i-1]-
Utot[:,i]))/(np.linalg.norm(Utot[:,i])),2)

maxerror=np.max(erreur)
```

Dans notre cas, nous obtenons une erreur de 7%

Nous obtenons les traces suivants. On voit que les deux solutions sont assez proches.



3.2 Avec contraintes

Nous allons à présent étudier le mouvement de la corde dans un tube i.e nous allons rajouter des contraintes. On supposera que :

$$-\frac{1}{2} \leq u(x, t) \leq \frac{1}{2}$$

Pour tout $x \in [0, L]$ et $t \in [t_0, t_f]$

1) Ecriture des contraintes

En discrétisant dans l'espace et dans le temps avec respectivement $j = 1; \dots; M + 1$ et $n = 1; \dots; N + 1$, on obtient ainsi $u(x, t) \approx u_j^n$. On peut donc écrire :

$$-\frac{1}{2} \leq u_j^n \leq \frac{1}{2}$$

2) Calcul du projeté

Soit l'ensemble $C := \{x \in \mathbb{R}^M | \forall j \in \llbracket 1, M \rrbracket -\frac{1}{2} \leq u_j^n \leq \frac{1}{2}\}$

On pose $y \in \mathbb{R}^M$, le projeté de y sur C est donne par :

$$p_C(x) = \begin{cases} y & \text{si } y \in C \\ \begin{pmatrix} \frac{y}{2\|y_j\|} \\ -\frac{y}{2\|y_j\|} \end{pmatrix} & \text{sinon} \end{cases}$$

3) Ecriture du problème

On a vu que u^{n+2} est un point critique de $Q_n(x)$.

En posant $x=u^{n+2}$ on se retrouve à chercher le min de $Q_n(x)$.

Le problème s'écrit donc

$$\begin{cases} \min Q_n(x) \\ x \in \mathcal{C} \end{cases}$$

4) Estimation de ρ

Soit $(x, y) \in \mathbb{R}^n \times \mathbb{R}^n$

$$\langle \nabla Q_n(x) - \nabla Q_n(y), x - y \rangle$$

$$\Leftrightarrow \langle P_2x - (P_1u^{n+1} + P_0u^n) - P_2y + (P_1u^{n+1} + P_0u^n), x - y \rangle$$

$$\Leftrightarrow \langle P_2(x - y), x - y \rangle$$

$$\Leftrightarrow P_2(x - y)^T(x - y)$$

$$\Leftrightarrow \min_{\lambda \in \text{Spec}(P_2)} |\lambda| \|x - y\|_2^2$$

Donc Q_n est elliptique avec $\alpha = \min_{\lambda \in \text{Spec}(P_2)} |\lambda|$

De même on a :

$$\|\nabla Q_n(x) - \nabla Q_n(y)\|_2$$

$$\Leftrightarrow \|P_2x - (P_1u^{n+1} + P_0u^n) - P_2y + (P_1u^{n+1} + P_0u^n)\|_2$$

$$\Leftrightarrow \|P_2(x - y)\|_2$$

$$\leq \|P_2\|_2 \|P_2(x - y)\|_2$$

Donc Q_n est lipchitzienne avec $M = \|P_2\|_2 = \sqrt{\max_{\lambda \in \text{Spec}(P_2)} |\lambda|}$

Donc la méthode du gradient projeté converge pour un pas ρ vérifiant :

$$0 < \rho < \frac{2\alpha}{M^2} = \frac{2 \min_{\lambda \in \text{Spec}(P_2)} |\lambda|}{\max_{\lambda \in \text{Spec}(P_2)} |\lambda|}$$

5) Ecriture du programme

Tout d'abord nous modifions la fonction proj en fonction des contraintes de l'énoncé.

```
def proj(x) :
    lim = 1/2
    xproj=np.maximum(np.minimum(x,lim*np.ones(np.shape(x))),-
    lim*np.ones(np.shape(x)))
    return xproj
```

Pour le programme du gradient projeté, nous utilisons nous réalisons une matrice comme dans la partie sans contraintes qui contiendra nos u^{n+2} .

Nous choisissons notre ρ grâce à l'intervalle définie théoriquement.

```
%% Application Gradient Projeté

alpha=np.min(np.abs(np.linalg.eigvals(P2)))
m= (np.max(np.abs(np.linalg.eigvals(P2))))
rhomax=2*alpha/m
rho=rhomax/2 # On divise par deux pour être sûr d'avoir un rho qui
fonctionne, même si ce n'est pas forcément le meilleur.
epsilon=10**(-10)
x0=np.ones((M,1))
#Création de Utotsc, relativement selon le même principe que pour la
méthode sans contraintes.
Utotsc=np.zeros((M,N+2))
Utotsc[:,0]=u0.reshape(M)
Utotsc[:,1]=u1.reshape(M)
Utotsc[0,:]=0
Utotsc[-1,:]=0
for i in tqdm(range(0,N),desc="Calcul Utotsc"):
    b=P1@Utotsc[:,i+1].reshape(M,1)+P0@Utotsc[:,i].reshape(M,1)
    Utotsc[:,i+2]=bbl.Gproj(P2,b,rho,x0,epsilon).reshape(M)
```

6) Application des données

Pour notre programme nous appliquons les données initiales suivantes :

$$\left\{ \begin{array}{l} M = 200 \quad N = 300 \\ t_0 = 0 \quad t_f = 10 \\ c = 1 \quad \theta = 1 \\ L = 1 \\ u_0(x) = \frac{1}{2} \sin(\pi x) \quad v_0(x) = -4 \sin(\pi x) \end{array} \right.$$

7) En appliquant les données suivantes au programme, on obtient une sortie vidéo
« animation.gif » de la sorte :

